

首都高速道路公团 正会員 結城 正洋
 " " 高野 晴夫
 日本技術開発KK 田寺 一雄

1. まえがき

橋梁において伸縮装置は不可欠なものであり、首都高速道路のような都市内高架橋にあっては、その数も多大なものとなる。しかも伸縮装置は維持補修の面からみて、最も欠陥の生じ易い個所でもあり、それからの漏水や騒音が重要な公害源となる可能性がある。これらは伸縮装置本体の耐久力や施工上の問題の他に、設計遊戻量のとりがたに大きな原因があるものと思われる。この遊戻量を変化させる主な要因としては温度、活荷重による桁のタフミ、衝撃、またコンクリート橋においては乾燥収縮、クリープなどが考えられる。以下は伸縮装置設計における適正遊戻量を算定するための資料収集の一環として活荷重載荷試験による桁端の回転および温度変化による桁端の水平移動量を測定し、検討を試みたものである。

2. 床版端部の挙動調査

a. 活荷重による挙動

活荷重載荷時に桁端の回転によつて生じる床版端部の水平移動量と主桁の最大タフミ値の実験を調べるために表1の実橋に荷重を載荷して挙動調査を行つた。荷重は総重量15t、20tの2種類を用いた。各載荷ケースの挙動測定は橋面上と主桁下フランジ面で行つた。橋面上には伸縮装置をはさむ標点間距離の変化量を、主桁のタフミは張力をえたピアノ線を支承間に渡して各横桁位置の変位量を測定した。測定時の気温変化は4°C～6°Cであり温度変化による桁長の変化は無視し得る範囲にあつた。測定位置を図1に示す。橋長40mの橋面上の測定値を表2にタフミ値を図2に示すが各主桁位置の水平移動量はタフミ量に比例しない。これは主桁間のコンクリート床版によるセコンダリ反応が桁端部の自由変形を妨げ水平移動を拘束したものと考える。又、可動側、固定側の値がほど等しいのは可動側支承の摩擦が切れずに両支点共固定支承のような挙動を示したものと思われる。次に活荷重による桁中央のタフミ量と床版端部水平移動量との関係を求めるところ3に示される結果となつた。これより活荷重による床版端部の水平移動量は実験式 $\Delta = 4.6(\%) - 0.2$ (Δ : 水平移動量, %: 最大タフミ量, L: 支間) によって求められる。なお上部構造の設計荷重T.L-20との対応は橋梁の横断方向を1本の梁に換算した曲げ剛性を求めて図4に示す活荷重を載荷して求まる最大タフミと支間を前記の式にあてはめることにより、て廣く適用される。

以上の項目をまとめると次の事が言えよう。

1) 活荷重による桁端の水平移動量は可動支承にはつても固定支承と同様な傾向を示すと思われる。

2) 各桁のタフミに大差があり、ても床版端部の水平移動量は床版の拘束によつて各桁上では同一の値を示すと考えられる。

表1					
路	橋	長	支	全	大
新設工期	30	3	支承位置	1.6	3 22
40	-	-	-	1.6	3 22
50	-	-	-	2.0	3 23
60	-	-	-	2.2	2 21

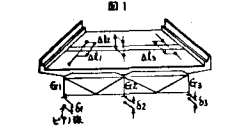
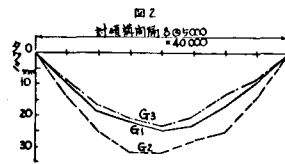
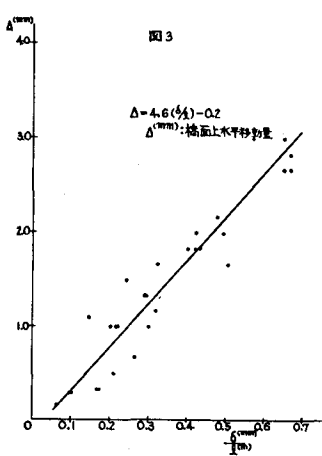


表2			
可動側	G1	G2	G3
固定側	3	2	2
固定側	3	3	3



b. 温度変化による挙動

温度変化による桁の伸縮量の変化を求めるため、床版遮間を狭む地覆上の2点に標点を設け、この変化量を測定した。測定箇所は、首都高速道路6号線Ⅰ期、9号線Ⅰ期鋼単純合成桁:31個所、多点固定系鋼連続桁:22個所鋼連続桁:9個所、いずれも未供用における橋梁を対象とした。なお、伸縮量の測定に伴い表面温度計を用いて床版上、下面、桁の温度、および気温も併せて測定した。測定は夏季、冬季の2回行い1測定を48時間として、この間を2時間サイクルとしている。温度測定結果(図5)によると気温、桁温度、床版下面温度の相対的関係は夏季日中にやゝ気温高となるが、ほど気温に近似するとのみなせる。この事から、気温を用いて冬季最低温度と夏季最高温度の最大温度差(ΔT)による前の伸縮量(Δl)、可動長(l_M)および ΔT の関係から線膨張係数(α)を求め($\alpha = \Delta l / (\Delta T \cdot l_M)$)、 α と l_M (多点固定系連続桁の場合表3を参照)の関係を図6に示す。これより l_M が長くなるに従い α が小さくなる傾向が認められる。又、多点固定系連続桁の l_M を表3のCase Bで表するとCase Aに比べて過前算定に用いている(鋼で 1.2×10^{-5})よりもやめて小さい値を示している。そこで以下多点固定系の l_M としてCase Bの場合を取る。ひずみ($\epsilon = \Delta l / l_M$)と気温の関係を(1)式に求め図7に示す。ここで支承の摩擦係数が一定のとき摩擦拘束が死荷重反力に比例するとなれば支承の摩擦拘束を考慮した桁のひずみと温度の関係が一般に図8のようであることを次の関係式を得る。 $\epsilon = \Delta l / l_M = \alpha_0 (\Delta T - \Delta t)$, $\Delta t = K \cdot l_M - (1)$ ($\alpha_0: l_M = 0$ の時の仮想の線膨張係数 K :比例定数 Δt :拘束によつて同じひずみを示す温度幅)これを ΔT で割り整理すると $\alpha = \epsilon / \Delta T = \alpha_0 - b / l_M$, $b = \alpha_0 / K$

---(2)となる。ここで ΔT (33.5°C:測定値平均)を

図6の(2)式に代入し得られる Δt と図7に見られることの傾向により l_M が大きくなるに従い拘束ひずみ量が大きくなることが示される。これは、 l_M が大きくなるにもかかわらず、伸縮量(Δl)にあまり変化がみとめられながら(表4)ことからもううづけられる。

以上のことは次のようにまとめられる。

1) 多点固定系連続桁の温度変化による桁の伸縮量の算出に用いる l_M の根柢はCase Aが実情に近いと言える。

2) 単純桁、連続桁の別なく l_M が長くなるに従い、その可動支承の摩擦拘束が大きくなるのでそれに応じて伸縮量の算定に用いる線膨張係数は小さく見積らる必要がある。

3) 可動長30M~40Mの鋼単純合成桁の線膨張係数の平均値は、 0.9×10^{-5} となり過前算定に用いている鋼の線膨張係数よりコンクリートの値に近いものとなつた。

参考文献: 王置 健 逆義義胤 鋼合成桁の伸縮量と温度測定 橋梁と基礎 4-6

